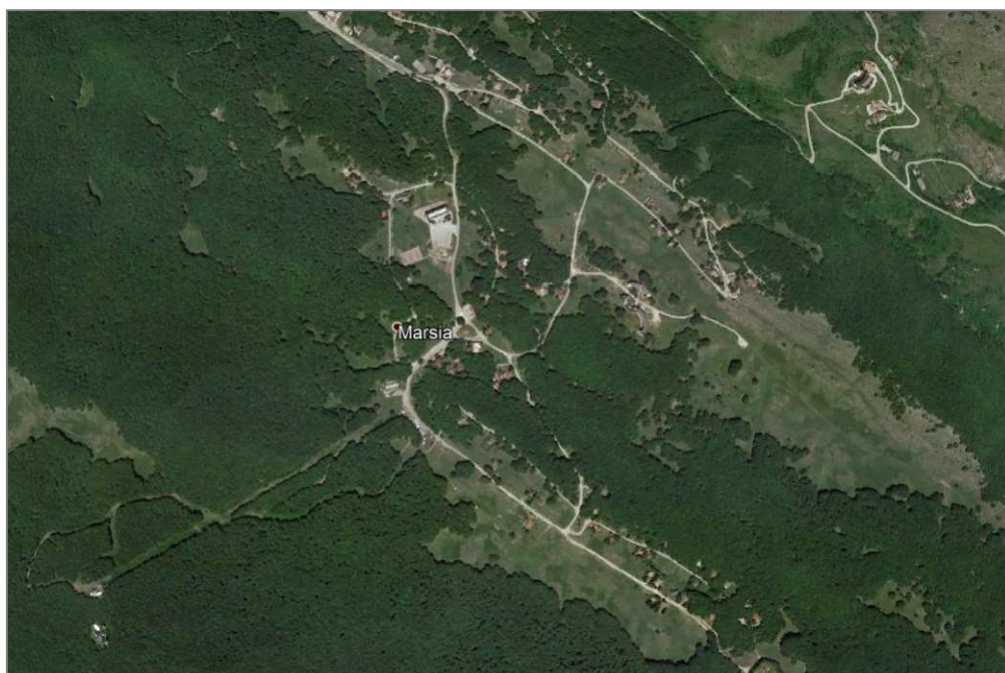


LAVORI DI COSTRUZIONE DELLA RETE FOGNANTE PER
ACQUE NERE NEL COMPRESORIO TURISTICO DI MARSIA

Fogli N. 37-38



GENNAIO 2023

Tav N.

27

EDIFICIO RICOVERO - STRUTTURALE

Scheda specifica sezione II

Progetto esecutivo

Il Committente :

CONSORZIO STRADALE PERMANENTE
DI MARSIA

Il Progettista :

Ing. FRANCO DI GIANNANTONIO



REGIONE ABRUZZO
Dipartimento Opere Pubbliche, Governo del Territorio e Politiche Ambientali

*Attività di vigilanza e controllo sulla progettazione mediante liste di controllo
(L.R. 28/2011 e Decreto n. 3 /REG del 30.12.2016)
Aggiornamento tecnico n. 1 al D.M. 17.01.2018 - NTC2018*

NI.MUR

“EDIFICI: NUOVI INTERVENTI IN MURATURA ORDINARIA”

SCHEDA SPECIFICA

SEZIONE II

(Versione n. 02 - marzo 2018)

2.A- AZIONI DI CALCOLO						
1 Valori caratteristici delle azioni in [daN/mq]						
	G _{1k}	G _{2k}	Categoria carico variabile (tab. 3.1.II NTC 18)			
			Q _{k1}		Q _{k2}	
Impalcato n 1	340	90	50	Cat H		Cat
Impalcato n				Cat		Cat
Impalcato n				Cat		Cat
Impalcato n				Cat		Cat
Impalcato n				Cat		Cat
Impalcato n				Cat		Cat
Impalcato n				Cat		Cat
Impalcato n				Cat		Cat
Impalcato n				Cat		Cat
Impalcato n				Cat		Cat
Balconi – Impalcati n				Cat		Cat
Balconi – Impalcati n				Cat		Cat
Balconi – Impalcati n				Cat		Cat
Balconi – Impalcati n				Cat		Cat
Scale – Impalcati n				Cat		Cat
Scale – Impalcati n				Cat		Cat
Scale – Impalcati n				Cat		Cat
Scale – Impalcati n				Cat		Cat
Copertura SPORTO	50	110	50	Cat H		Cat
altro _____	_____	_____	_____	Cat____	_____	Cat_____
Carico da Vento Q _{kV} 126.74			Carico da Neve Q _{kN} 644			

Incidenza tramezzi (p. 3.1.3 NTC18)	<input type="checkbox"/>	0.40 kN/mq	Elementi divisori con $G_2 \leq 1,00$ kN/mq
	<input type="checkbox"/>	0.80 kN/mq	Elementi divisori con $1,00 < G_2 \leq 2,00$ kN/mq
	<input type="checkbox"/>	1.20 kN/mq	Elementi divisori con $2,00 < G_2 \leq 3,00$ kN/mq
	<input type="checkbox"/>	1.60 kN/mq	Elementi divisori con $3,00 < G_2 \leq 4,00$ kN/mq
	<input type="checkbox"/>	2.00 kN/mq	Elementi divisori con $4,00 < G_2 \leq 5,00$ kN/mq
2 Carichi di lineari [daN/ml]			
Tamponatura G_{2k} 0		Altro _____	
3 Combinazioni considerate nella valutazione della sicurezza (p. 2.5.3 NTC18)			
3.1 <input checked="" type="checkbox"/>	Fondamentale (SLU)	$\gamma_{G1} \times G_{1,k} + \gamma_{G2} \times G_{2,k} + \gamma_P \times P + \gamma_{Q1} \times Q_{k1} + \gamma_{Q2} \times \psi_{02} \times Q_{k2} + \gamma_{Q3} \times \psi_{03} \times Q_{k3} + \dots$	
3.2 <input checked="" type="checkbox"/>	Caratteristica (SLE)	$G_1 + G_2 + P + Q_{k1} + \psi_{02} \times Q_{k2} + \psi_{03} \times Q_{k3} + \dots$	
3.3 <input checked="" type="checkbox"/>	Frequente (SLE)	$G_1 + G_2 + P + \psi_{11} Q_{k1} + \psi_{22} \times Q_{k2} + \psi_{23} \times Q_{k3} + \dots$	
3.4 <input checked="" type="checkbox"/>	Quasi Permanente (SLE)	$G_1 + G_2 + P + \psi_{21} Q_{k1} + \psi_{22} \times Q_{k2} + \psi_{23} \times Q_{k3} + \dots$	
3.5 <input checked="" type="checkbox"/>	Sismica (E)	$E + G_1 + G_2 + P + \psi_{21} Q_{k1} + \psi_{22} \times Q_{k2} + \dots$	
3.6 <input type="checkbox"/>	Eccezionale (A_D)	$E + G_1 + G_2 + P + A_D + \psi_{21} Q_{k1} + \psi_{22} \times Q_{k2} + \dots$	
Altro _____			

2.B- AZIONE SISMICA DI PROGETTO (riferita all'analisi che condiziona il livello di sicurezza)						
1 Analisi della regolarità (pp.7.2.1, 7.3.1 e 7.8.1 NTC18)						
1.1	Regolarità in pianta:	<input checked="" type="checkbox"/> SI	<input type="checkbox"/> NO (α_u/α_1 pari alla media tra 1 ed i valori specifici)			
1.2	Regolare in elevazione	<input checked="" type="checkbox"/> SI ($K_R=1$)	<input type="checkbox"/> NO ($K_R=0.80$)			
2 Fattore di comportamento $q_0=1,75 \alpha_u/\alpha_1$ (Tab. 7.3.II NTC18)				Fattore $q_{lim}=K_R q_0$		
TIPOLOGIA STRUTTURALE		REGOLARE IN PIANTA	α_u/α_1	$q_0 = 1,75 \alpha_u/\alpha_1$	REGOLARE in altezza	NON REGOLARE in altezza
2.1.1 Costruzioni in muratura ordinaria		SI	1.70	2.98	<input type="checkbox"/> 2.98	<input type="checkbox"/> 2.38
		NO	1.35	2.36	<input type="checkbox"/> 2.36	<input type="checkbox"/> 1.89
2.1.5	<input type="checkbox"/> Calcolato a mezzo di analisi statica non lineare ($\alpha_u/\alpha_1 < 2.5$ p.7.8.1.3 NTC18)			$q =$		
2.1.6	<input type="checkbox"/> Analisi elastica, comportamento non dissipativo $q_{ND} = 0.66 \times q_{CDB} =$ _____ (compreso tra 1.00 e 1.50, p.7.3.1 NTC18)					
2.1.7	<input type="checkbox"/> altro valore di $q =$ specificare:					

3 <input type="checkbox"/> Quota dello "Zero sismico" 0 m			
4 Componente Verticale del Sisma (se obbligatoria con $q_{lim} = 1.5$ - pp. 7.2.2 e 7.3.1 NTC18)			
4.1	<input checked="" type="checkbox"/>	Trascurata	
4.2	<input type="checkbox"/>	Presenza di elementi pressoché orizzontali con luce superiore a 20 m	
4.3	<input type="checkbox"/>	Elementi precompressi (con l'esclusione dei solai di luce inferiore a 8 m)	
4.4	<input type="checkbox"/>	Elementi a mensola di luce superiore a 4 m;	
4.5	<input type="checkbox"/>	Strutture di tipo spingente, pilastri in falso, edifici con piani sospesi	
4.6	<input type="checkbox"/>	<input type="checkbox"/> Costruzioni con isolamento sismico nei casi specificati al p. 7.10.5.3.2 NTC18;	
5 Interazione STRUTTURA - elementi NON STRUTTURALI			
5.1	Distribuzione fortemente irregolare in pianta delle componenti non strutturali	<input type="checkbox"/> NO	<input type="checkbox"/> SI: in assenza di specifiche valutazioni gli effetti torsionali considerati incrementando di un fattore 2 l'eccentricità accidentale (p.7.2.3 NTC18)
5.2	Distribuzione fortemente irregolare in altezza delle componenti non strutturali	<input type="checkbox"/> NO	<input type="checkbox"/> SI: in assenza di specifiche valutazioni le concentrazioni di danno attese sono considerate incrementando di un fattore 1.4 le sollecitazioni sismiche sui pilastri e sulle pareti dei livelli con riduzione di rigidità (p.7.2.3 NTC18)
Osservazioni			
2.C- CARATTERISTICHE DEI MATERIALI			
1 Caratteristiche meccaniche della muratura in sede di progetto (pp. 11.10.3.1.2 e 11.10.3.1.2 NTC18)			
1.1	MURATURA TIPO 1 Muratura nuova con elementi naturali (<i>descrizione</i>) <input type="checkbox"/> 1.1.1 Stima della <u>RESISTENZA A COMPRESSIONE</u> caratteristica per ELEMENTI ARTIFICIALI con giunti verticali ed orizzontali PIENI Tab. 11.10VI): <p style="text-align: center;">MALTA TIPO : _____ $f_k =$ MPa</p>		

Tab. 11.10.VI - Valori di f_k per murature in elementi artificiali pieni e semipieni (valori in N/mm²)

Resistenza caratteristica a compressione f_{bk} dell'elemento N/mm ²	Tipo di malta			
	M15	M10	M5	M2,5
2,0	1,2	1,2	1,2	1,2
3,0	2,2	2,2	2,2	2,0
5,0	3,5	3,4	3,3	3,0
7,5	5,0	4,5	4,1	3,5
10,0	6,2	5,3	4,7	4,1
15,0	8,2	6,7	6,0	5,1
20,0	9,7	8,0	7,0	6,1
30,0	12,0	10,0	8,6	7,2
40,0	14,3	12,0	10,4	-

1.1.2 Stima della RESISTENZA A COMPRESSIONE caratteristica per **ELEMENTI NATURALI** con giunti verticali ed orizzontali **PIENI** (Tab. 11.10VII):

MALTA TIPO : _____ **$f_k = 6,7$ MPa**

Tab. 11.10.VII - Valori di f_k per murature in elementi naturali di pietra squadrata (valori in N/mm²)

Resistenza caratteristica a compressione f_{bk} dell'elemento	Tipo di malta			
	M15	M10	M5	M2,5
2,0	1,0	1,0	1,0	1,0
3,0	2,2	2,2	2,2	2,0
5,0	3,5	3,4	3,3	3,0
7,5	5,0	4,5	4,1	3,5
10,0	6,2	5,3	4,7	4,1
15,0	8,2	6,7	6,0	5,1
20,0	9,7	8,0	7,0	6,1
30,0	12,0	10,0	8,6	7,2
≥ 40,0	14,3	12,0	10,4	-

1.1.3 Stima della resistenza caratteristica a TAGLIO di base della muratura con giunti verticali ed orizzontali **PIENI** (Tab. 11.10VIII):

$f_{vko} = 0,3$ MPa

Tab. 11.10.VIII - Resistenza caratteristica a taglio in assenza di tensioni normali f_{vk0} (valori in N/mm^2)

Elementi per muratura	f_{vk0} (N/mm^2)		
	Malta ordinaria di classe di resistenza data	Malta per strati sottili (giunto orizzontale $\geq 0,5$ mm e ≤ 3 mm)	Malta alleggerita
Laterizio	M10 - M20	0,30	0,30*
	M2,5 - M9	0,20	
	M1 - M2	0,10	
Silicato di calcio	M10 - M20	0,20	0,20**
	M2,5 - M9	0,15	
	M1 - M2	0,10	
Calcestruzzo vibrocompresso Calcestruzzo areato autoclavato Pietra artificiale e pietra naturale a massello	M10 - M20	0,20	0,20**
	M2,5 - M9	0,15	
	M1 - M2	0,10	

* valore valido per malte di classe M10 o superiore e resistenza dei blocchi $f_b \geq 5.0$ N/mm^2

** valore valido per malte di classe M5 o superiore e resistenza dei blocchi $f_b \geq 3.0$ N/mm^2

	Altre murature utilizzate	Resistenza a compressione caratteristica	Resistenza a taglio caratteristica
1.2 <input type="checkbox"/>	TIPO 2	$f_k =$ MPa	$f_{vk0} =$ MPa
1.3 <input type="checkbox"/>	TIPO 3	$f_k =$ MPa	$f_{vk0} =$ MPa
1.4 <input checked="" type="checkbox"/>	E' rispettata la prescrizione (p. 7.8.1.2 NTC18): resistenza media della malta superiore a 5 MPa in ogni caso		
1.5	Coefficienti parziali di sicurezza dei materiali per analisi statica (NO SISMA) – p. 4.5.6.1 NTC18 (Tab. 4.5.II- NTC18)		
1.5.1	Elementi cat. I – Malte <u>prestazione garantita</u>	<input type="checkbox"/> $\gamma_m = 2.0$	<input type="checkbox"/> $\gamma_m = 2.5$
1.5.2	Elementi cat. I – Malte <u>composizione prescritta</u>	<input type="checkbox"/> $\gamma_m = 2.2$	<input type="checkbox"/> $\gamma_m = 2.7$
1.5.3	Elementi cat. II – Ogni tipo di malta	<input type="checkbox"/> $\gamma_m = 2.5$	<input type="checkbox"/> $\gamma_m = 3.0$
1.5.4	Altro _____		
1.6 <input checked="" type="checkbox"/>	Coefficiente parziale di sicurezza sul materiale per l'analisi sismica (p.7.8.1.1 NTC18) $\gamma_m = \geq 2$		
1.7 <input type="checkbox"/>	Giunti sottili (0.5mm \leq spessore \leq 3 mm) solo per $a_g S \leq 0.15g$ allo SLV e con limitazioni in altezza di cui al p.7.8.1.2 NTC2018		
1.8 <input type="checkbox"/>	Giunti verticali a secco (0.5mm \leq spessore \leq 3 mm) solo per $a_g S \leq 0.075g$ allo SLV e con limitazioni geometriche di cui al p.7.8.1.2 NTC2018		
2	Altri materiali utilizzati (es. Fondazioni in c.a.):		
2.1	Calcestruzzo tipo 1	classe di resistenza C25/30 $f_{cd} = 14$ MPa	
	Calcestruzzo tipo 2	classe di resistenza C25/30 $f_{cd} = 14$ MPa	
2.2	Legno massiccio/lamellare	GL24h	

2.3	Acciaio da carpenteria	B450C
2.4	Altro	
Osservazioni		

2.D- CRITERI DI MODELLAZIONE

1 Requisiti minimi geometrici delle pareti da rispettare (p.4.5.4 NTC18)

1.1 Spessore dei muri portanti nei confronti dei carichi **GRAVITAZIONALI** non inferiore a

1.1.1 <input checked="" type="checkbox"/>	15 cm	elementi artificiali pieni
1.1.2	20 cm	elementi artificiali semi-pieni
1.1.3	24 cm	elementi artificiali forati
1.1.4	24 cm	elementi di pietra naturale squadrata
1.1.5	40 cm	elementi di pietra listata
1.1.6	50 cm	elementi di pietra non squadrata

1.2 Spessore dei muri resistenti al **SISMA** (Tab. 7.8.1 NTC18)

1.2.1	30 cm	elementi in pietra squadrata
1.2.2 <input checked="" type="checkbox"/>	24 cm	elementi artificiali
1.2.3	24 cm	elementi in pietra squadrata in Zona con $a_g S \leq 0.15g$
1.2.4	20 cm	elementi artificiali semipieni in Zona con $a_g S \leq 0.075g$
1.2.5	15 cm	elementi artificiali pieni in Zona in Zona con $a_g S \leq 0.075g$

2 Caratteristiche dei solai ai fini della modellazione strutturale

2.1 Solai infinitamente rigidi nel loro piano (p. 7.2.6 NTC18):

2.1.1	Solai in calcestruzzo armato oppure in latero-cemento, privi di aperture significative, con soletta in c.a. non inferiore a 4 cm.
2.1.2	Solai misti legno e acciaio e soletta in calcestruzzo armato di soletta di almeno 5 cm collegata con connettori a taglio, privi di aperture significative.

	2.1.3	Solai che rispettano la verifica analitica di cui al (p. C7.2.6 Circ. Min. 617/09).
2.2	In presenza di solai deformabili	
	2.2.1	Non considerati nel modello di calcolo (infinitamente deformabili)
	2.2.2	Modellati con propria rigidezza (indicare l'elaborato ed il paragrafo dove è illustrata la modalità di modellazione): _____
2.4	Indicare la distribuzione degli impalcati nel modello di calcolo	
	TUTTI i solai di piano <input type="checkbox"/> Rigidi <input type="checkbox"/> Infinitamente Deformabili <input type="checkbox"/> con propria rigidezza	
	Solaio da Piano ___ a ___ <input type="checkbox"/> Rigido <input type="checkbox"/> Infinitamente Deformabile <input type="checkbox"/> con propria rigidezza	
	Solaio a Piano _____ <input type="checkbox"/> Rigido <input type="checkbox"/> Infinitamente Deformabile <input type="checkbox"/> con propria rigidezza	
	Solaio a Piano _____ <input type="checkbox"/> Rigido <input type="checkbox"/> Infinitamente Deformabile <input type="checkbox"/> con propria rigidezza	
	Solaio a Piano _____ <input type="checkbox"/> Rigido <input type="checkbox"/> Infinitamente Deformabile <input type="checkbox"/> con propria rigidezza	
	Solaio a Piano _____ <input type="checkbox"/> Rigido <input type="checkbox"/> Infinitamente Deformabile <input type="checkbox"/> con propria rigidezza	
	Copertura/e: <input type="checkbox"/> Rigido <input checked="" type="checkbox"/> Infinitamente Deformabile <input type="checkbox"/> con propria rigidezza	
	Altro _____ <input type="checkbox"/> Rigido <input type="checkbox"/> Infinitamente Deformabile <input type="checkbox"/> con propria rigidezza	
	Altro _____ <input type="checkbox"/> Rigidi <input type="checkbox"/> Infinitamente Deformabili <input type="checkbox"/> con propria rigidezza	
3 Requisiti geometrici (p. 7.8.1.4 NTC18)		
3.1	<input type="checkbox"/> Coperture e/o orizzontamenti spingenti: Non presenti	
3.2	<input type="checkbox"/> Eventuali spinte orizzontali, valutate tenendo in conto l'azione sismica, sono assorbite per mezzo dei seguenti elementi strutturali: _____	
3.3	<input type="checkbox"/> Distanza massima tra due solai successivi non è superiore a 5.00 m	
4 Strutture di fondazione		
4.1	<input checked="" type="checkbox"/> Strutture di fondazione continue in calcestruzzo armato (p. 7.8.1.8 NTC 18):	
4.2	Non inserite nel modello di calcolo	

Osservazioni

2.E - ANALISI STRUTTURALE ESEGUITA (riferita all'analisi che condiziona il livello di sicurezza)

1 Analisi Statica Lineare (p. 7.3.3.2 e 7.8.1.5.2 NTC18)

1.1 Periodo fondamentale di vibrazione $T_1 = 2\sqrt{d} =$

(d=spostamento laterale elastico del punto più alto dell'edificio per la combinazione dei carichi [2.5.7] NTC18)

1.2

Rispettate le condizioni: $T_1 \leq 2,5T_c$ oppure $T_1 \leq T_D$ $\lambda = 1$ caso di edificio non regolare in altezza

1.3

Eccentricità accidentale **5%** Eccentricità accidentale **10%** per distribuzione fortemente irregolare in pianta degli elementi non strutturali (p. 7.2.3, 7.3.3 e 7.2.6 NTC18)

2 Dinamica Lineare con spettro di risposta (p. 7.3.3.1 e 7.8.1.5.3 NTC18)

2.1 Sono stati considerati un numero di modi la cui massima partecipante è pari a

2.2 Si è tenuto conto degli effetti torsionali applicando un'eccentricità accidentale 5% o 10% (p. 7.2.3, 7.3.3 e 7.2.6 NTC18)

2.3 Caratteristiche modali della struttura:

Modi principali	Periodo [sec]	Massa partecipante [%]	Direzione prevalente [X,Y,ROT]
Modo n. ____			
Modo n. ____			
Modo n. ____			

3 Analisi statica non lineare (p. 7.3.4.1 e 7.8.1.5.4 NTC18)

3.1 Distribuzione di forze adottata: Gruppo 1 – Distribuzione principale

3.1.1 Proporzionale alle forze statiche se il modo fondamentale ha massa partecipante vibrare $\geq 60\%$ ed a patto di utilizzare la distribuzione uniforme del Gruppo 2

	3.1.2	<input type="checkbox"/> Proporzionale alla forma modale se il modo fondamentale ha massa partecipante vibrare >60 %
	3.1.3	<input type="checkbox"/> Proporzionale ai tagli di piano calcolati con analisi dinamica lineare che mobiliti una massa partecipante complessiva $\geq 85\%$. OBBLIGATORIA SE $T_1 > 1.3T_c$ $T_1 =$ _____ sec e $1.3T_c =$ _____ sec
3.2	Distribuzione di forze adottata: Gruppo 2 – Distribuzione Secondaria 3.2.1 <input type="checkbox"/> Distribuzione uniforme 3.2.2 <input type="checkbox"/> Distribuzione adattiva 3.2.3 <input type="checkbox"/> Distribuzione multimodale considerando almeno n. 6 modi significativi	
3.3	<input type="checkbox"/> Si è tenuto conto degli effetti torsionali applicando un'eccentricità accidentale 5% o 10 % (p. 7.2.3, 7.3.3 e 7.2.6 NTC18)	
3.4	<input type="checkbox"/> $Q^* < 4$ con $Q^* =$ rapporto tra il taglio totale agente alla base del sistema equivalente calcolato con spettro elastico, ed il taglio resistente del sistema equivalente	
3.5	<input type="checkbox"/> Si forniscono le curve di capacità in allegato al progetto	
4	<input type="checkbox"/> Analisi non lineare dinamica TIME HISTORY (p. 7.3.4.1 NTC18)	
	Altro <hr/> <hr/> <hr/> <hr/> <hr/> <hr/> <hr/> <hr/> <hr/> <hr/>	

2.F- VERIFICHE DI SICUREZZA PER I VARI LIVELLI PRESTAZIONALI

1 Verifiche di sicurezza della struttura in elevazione:

1.1 **Edifici Semplici** (p. 4.5.6.4 e p.7.8.1.9 NTC18)

1.2	RESISTENZA SLU (p. 4.5.6.2 NTC18) – NO SISMA		
	1.2.1	Presso flessione per carichi laterali	<input checked="" type="checkbox"/> SI <input type="checkbox"/> OMESSE
	1.2.2	Presso flessione nel piano	<input checked="" type="checkbox"/> SI <input type="checkbox"/> OMESSE
	1.2.3	Taglio nel piano	<input type="checkbox"/> SI <input checked="" type="checkbox"/> OMESSE
	1.2.4	Flessione e Taglio nelle travi di accoppiamento	<input type="checkbox"/> SI <input checked="" type="checkbox"/> OMESSE
1.2.5	Motivo omissioni		
1.3	RESISTENZA SLV (p. 7.8.2 NTC18)		
	1.3.1	Presso flessione nel piano (p.7.8.2.2.1 NTC18)	<input checked="" type="checkbox"/> SI <input type="checkbox"/> OMESSE
	1.3.2	Taglio nel piano (p.7.8.2.2.2 NTC18)	<input checked="" type="checkbox"/> SI <input type="checkbox"/> OMESSE
	1.3.3	Presso flessione fuori piano (p.7.8.2.2.3 NTC18)	<input checked="" type="checkbox"/> SI <input type="checkbox"/> OMESSE
	1.3.4	Flessione e Taglio nelle travi di accoppiamento (p.7.8.2.2.4 NTC18)	<input checked="" type="checkbox"/> SI <input type="checkbox"/> OMESSE
	1.3.5	Verifica globale Capacità –Domanda per analisi statica non lineare (p. 7.8.1.6 NTC18)	<input type="checkbox"/> SI <input checked="" type="checkbox"/> OMESSE
1.3.6	Motivo omissioni		
1.4	<input checked="" type="checkbox"/> DEFORMABILITA' SLD (p. 7.3.6.1 NTC18): $q d_r < 0.002 h$ (per Classe d'uso I e II) $d_r =$ spostamento di interpiano nel modello privo di tamponature; $h =$ altezza di interpiano		
1.5	<input type="checkbox"/> OPERATIVITA' SLO (p. 7.3.7.2 NTC18) : $d_r < 0.0013 h$ (per Classe d'uso III e IV)		
1.6	VERIFICA ELEMENTI NON STRUTTURALI (STA) allo SLV (p. 7.3.6.2 e tab. 7.3.III NTC18) Verifica all'espulsione fuori dal piano sotto l'azione della forma di carico Fa al p. 7.2.3 NTC18		<input type="checkbox"/> SI <input type="checkbox"/> OMESSE
1.7	VERIFICA DEGLI IMPIANTI (STA e FUN) (p. 7.3.6.3 2 e tab. 7.3.III NTC18) Verifica di resistenza delle strutture di sostegno degli impianti principali e di collegamento alla struttura portante e di funzionamento		<input type="checkbox"/> SI <input type="checkbox"/> OMESSE
	Classe d'uso II: Verifica di stabilità (STA) allo SLV		<input type="checkbox"/> SI <input type="checkbox"/> OMESSE

Classe d'uso III e IV: Verifica di stabilità (STA) allo SLV Verifica di Funzionamento (FUN) allo SLO		<input type="checkbox"/> SI	<input type="checkbox"/> OMESSE
Motivo omissioni <hr/>			
2 Verifiche in fondazione			
2.1	Fondazioni superficiali (pp. 6.4.2.1, 6.4.2.2, 7.11.3.5 e 7.11.5.3.1 NTC18)		
2.1.1	SLU e SLV: Carico limite terreno/fondazione (GEO)	<input checked="" type="checkbox"/> SI	SI OMESSE
2.1.2	SLU e SLV: Collasso per scorrimento sul piano di posa (GEO)	<input checked="" type="checkbox"/> SI	SI OMESSE
2.1.3	SLU e SLV: Stabilità globale (GEO)	<input checked="" type="checkbox"/> SI	<input type="checkbox"/> OMESSE
2.1.4	SLU e SLV: Raggiungimento della resistenza negli elementi strutturali (STR)	<input checked="" type="checkbox"/> SI	OMESSE
2.1.5	SLE e SLD: Compatibilità dei cedimenti e delle distorsioni	<input checked="" type="checkbox"/> SI	<input type="checkbox"/> OMESSE
Motivo omissioni <hr/>			
2.2	Fondazioni su pali (pp. 6.4.3, 7.11.3.5 e 7.11.5.3.2 NTC18)		
2.2.1	SLU e SLV: Carico limite azioni assiali (GEO)	<input type="checkbox"/> SI	<input checked="" type="checkbox"/> OMESSE
2.2.2	SLU e SLV: Carico limite azioni trasversali (GEO)	<input type="checkbox"/> SI	<input checked="" type="checkbox"/> OMESSE
2.2.3	SLU e SLV: Carico limite per sfilamento per azioni di trazione (GEO)	<input type="checkbox"/> SI	<input checked="" type="checkbox"/> OMESSE
2.2.4	SLU e SLV: Stabilità globale (GEO)	<input type="checkbox"/> SI	<input type="checkbox"/> OMESSE
2.2.5	SLU e SLV: Raggiungimento resistenza dei pali (STR)	<input type="checkbox"/> SI	<input checked="" type="checkbox"/> OMESSE
2.2.6	SLU e SLV: Raggiungimento resistenza struttura di collegamento pali (STR)	<input type="checkbox"/> SI	<input checked="" type="checkbox"/> OMESSE
2.2.7	SLE e SLD: compatibilità dei cedimenti e delle distorsioni	<input type="checkbox"/> SI	<input type="checkbox"/> OMESSE
Motivo omissioni <hr/>			
2.3	<input type="checkbox"/>	Coefficienti parziali di sicurezza secondo Approccio 1 (p. 6.2.4.1 NTC 18)	
2.4	<input checked="" type="checkbox"/>	Coefficienti parziali di sicurezza secondo Approccio 2 (p. 6.2.4.1 NTC 18)	
3 Regole di dettaglio (p. 7.8.5.6 NTC 18)			
3.1	<input type="checkbox"/>	Realizzazione di un cordolo continuo all'intersezione di solai e pareti	

3.2	<input type="checkbox"/>	In corrispondenza degli incroci d'angolo delle pareti perimetrali sono presenti zone di parete muraria piena non inferiore a 1 m
3.2	<input type="checkbox"/>	Architravi resistenti a flessione e ammortati (con relativa verifica di sicurezza)

2.G- SINTESI DEI RISULTATI		RIF. ELABORATO E PARAGRAFO
1 <input type="checkbox"/>	Si allegano le configurazioni deformate	ELABORATO 1S
2 <input type="checkbox"/>	Si allegano i principali diagrammi delle sollecitazioni e degli spostamenti (3D e 2D)	ELABORATO 1S
3 <input type="checkbox"/>	Si allegano i principali diagrammi delle principali verifiche di sicurezza (3D e 2D)	ELABORATO 1S

2.H- OSSERVAZIONI CONCLUSIVE SULLA VALUTAZIONE DELLA SICUREZZA (<i>campo libero</i>)

2.I- PRESCRIZIONI PARTICOLARI PER L'USO E LA MANUTENZIONE (<i>campo libero</i>)